

الگوریتمی جدید و کارا برای دنبال کردن پاره خطها در

سلسله تصاویر متواالی

قادر کریمیانⁱ; ابوالقاسم راعیⁱⁱ; کریم فائزⁱⁱⁱ

چکیده

در این مقاله، روش جدیدی برای دنبال کردن پاره خطها، در سلسله‌ای از تصاویر متواالی، معرفی شده است. تصاویر توسط دوربین نصب شده بر روی ربات سیار و حین حرکت آن بر روی مسیر دلخواه برداشته می‌شوند. الگوریتم دارای دو مرحله است. در مرحله اول با استفاده از قیود مکان، زاویه، همپوشانی و جهت کنتراست، پاره خطهایی که در دو تصویر متواالی نامزو تناقض نداشتند، مشخص می‌شوند. در مرحله دوم با استفاده از قید ترتیب و تابع معیاری مبتنی بر کنتراست، متناظرها انتخاب شده و رفع ابهام سراسری انجام می‌شود. تغییر مکان و زاویه پاره خطهای متناظر، بر اساس هندسه سیستم و اطلاعات ادومتری نشان داده شده است. سایر قیود و معیارهای تشابه و نیز نحوه استفاده از آنها، که برای اولین بار در این زمینه بکار رفته، عملکرد موثری داشته‌اند. این الگوریتم در مقایسه با الگوریتمی مبتنی بر اصل هموار بودن اختلاف مکانی با سرعتی حدود پنج برابر، کیفیتی بمراتب بهتر را بر روی سلسله تصاویر واقعی از محیط‌های داخلی نشان داده است.

كلمات کلیدی

تصاویر متواالی، دنبال کردن، پاره خط، ربات سیار، تعیین موقعیت (Localization)

A New Efficient Algorithm for Line Segment Tracking in a Sequences of Images

G. Karimian; A. Raie; K. Faez

ABSTRACT

In this paper, a new algorithm to track line segments in a sequence of images is introduced. The images are taken by a camera installed on a mobile robot while moving on an arbitrary path. The algorithm consists of two stages. In the first stage, using the criteria of location, orientation, overlapping, and contrast direction, the line segments, which are matching candidate in two sequential images are determined. Second, the matches will be determined through the ordering constraint, along with the criterion function based upon contrast; and the global disambiguation will occur. The constraints, similarity criteria, and the approach to their application, being utilized for the first time in this regard, have proven to be effective. With a speed of approximately five times faster than an algorithm based on the relaxation labeling, the proposed algorithm has shown a much better quality on a series of real images of indoor environments.

KEYWORDS

Image Sequences, Tracking, Line Segment, Mobile Robot, Localization

ⁱدانشجوی دکتری، دانشگاه صنعتی امیرکبیر، دانشکده برق، تلفن: ۰۶۴۵۴۲۲۶۵

ⁱⁱدانشیار دانشگاه صنعتی امیرکبیر، دانشکده برق، تلفن: ۰۶۴۵۴۲۳۱۵

ⁱⁱⁱاستاد دانشگاه صنعتی امیرکبیر، دانشکده برق، تلفن: ۰۶۴۵۴۲۲۲۸

Mahanalobis بین مولفه‌های مختصات نقطه‌وسط، طول و زاویه هر پاره خط و نامزد تناظر آن [۹] استفاده از ترکیب وزندار از فواصل دو پاره خط نامزد از خط تقارنشان و میزان همپوشانی آنها در راستای محور تقارنشان [۱۰] و استفاده از میزان همبستگی شدت روشنایی نقاط نظیر دو پاره خط [۱۱]، نمونه‌هایی از تابع معیار بکار رفته در مرحله دوم هستند.

در روشهای یادشده تخمین اولیه‌ای از میزان جابجایی در دست نیست. در [۱۲] تطابق پاره خطها در دو تصویر متواالی با داشتن تخمین میزان حرکت در راستای محور نوری دوربین، تحت عنوان استریو با حرکت محوری مورد بحث قرار گرفته است. الگوریتم [۱۲] که مبتنی بر relaxation labeling یا اصل هموار بودن اختلاف مکانی در یک همسایگی می‌باشد، با توجه به پیش فرض آن، یعنی داشتن تخمینی از میزان جابجایی، به مساله مورد بحث این مقاله نزدیکتر است.

با توجه به مقدمات فوق، می‌توان گفت که مدعای این تحقیق، ارائه راه حل جدیدی برای مساله تعمیم یافته در [۱۲] است. بدین معنی که حرکت دوربین از حرکت در امتداد محور نوری به حرکت همراه با دوران، انتقال و زاویه tilt دوربین تعمیم یافته و نیز دنبال کردن پاره خطها در سلسله‌ای از تصاویر مورد توجه قرار گرفته است. دستاوردهای این تحقیق که برای اولین بار در این مقاله ارائه شده‌اند، عبارتند: تحلیل هندسه سیستم و دستیابی به قیود مکان و زاویه برای محدود کردن فضای جستجو، نمایش امکان استفاده از مجموعه جدیدی از قیود و معیارهای تشابه و نحوه بکارگیری آنها با کارائی بالا در مساله دنبال کردن پاره خطها، مقایسه عملکرد روش پیشنهادی در حالت حرکت در مسیر مستقیم با الگوریتم [۱۲] و نیز نمایش عملکرد آن در حرکت دلخواه. در ارائه مطالب، بخش ۲ به هندسه سیستم تصویربرداری و تعاریف لازم از دستگاه‌های مختصات، اختصاص یافته است. در بخش ۳، قید مهم و اولیه در محدود کردن فضای جستجو، یعنی مکان متناظر و قاعده ساده‌ای برای تعیین آن ارائه می‌شود. بخش ۴ به معرفی مجموعه فرض‌ها، قیدها و معیارهای تشابه در الگوریتم پیشنهادی و از جمله توجیه نظری استفاده از زاویه پرداخته است. الگوریتم پیشنهادی در بخش ۵ معرفی شده است. ارزیابی و مقایسه عملکرد الگوریتم پیشنهادی با الگوریتم [۱۲] در بخش ۶ نشان داده شده است و بالاخره جمع‌بندی نتایج در بخش ۷ آمده است.

۲- هندسه تصویربرداری

تصویربرداری در این تحقیق با دوربین MEGA-D [۱۳] که بر روی ربات سیار PeopleBot [۱۴] در ارتفاع ۱/۲ متر نصب

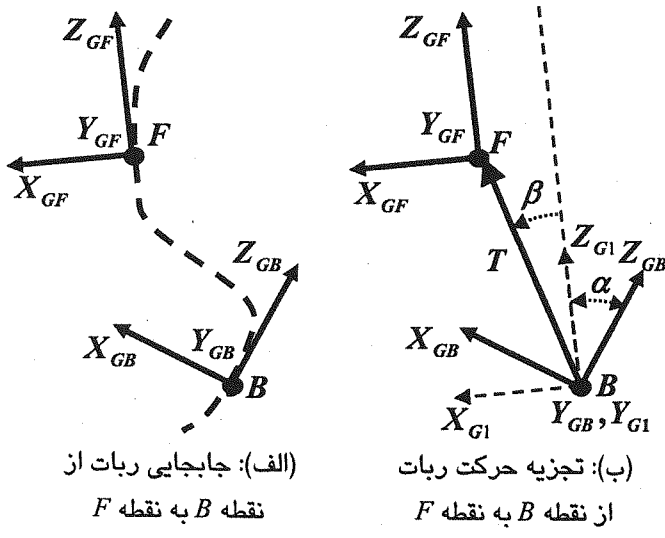
دانبال کردن ویژگی‌ها در سلسله تصاویر متواالی، در زمینه‌های مختلف و با اهداف مختلف مورد استفاده قرار می‌گیرد. تولید نقشه محیط، دنبال کردن نقشه و تعیین موقعیت ربات بر اساس دنبال کردن ویژگی‌ها، نمونه‌هایی از کاربرد بینایی در زمینه رباتیک هستند که در منابع تحقیقاتی بطور وسیع به آنها پرداخته شده است. ویژگی‌هایی که در تصاویر متواالی دنبال می‌شوند از دو نوع هستند، نوع اول ویژگی‌های شبکه نقطه، مانند گوشه‌ها [۱] و ویژگی‌های SIFT [۲] و نوع دوم پاره خط‌های استخراجی از تصاویر [۳-۸] می‌باشند. از بین این دو، پاره خط‌ها برای نمایش ساختار محیط و تولید نقشه مواد، خصوصاً در کاربردهای رباتیک، نسبت به ویژگی‌های شبکه نقطه مناسبتر هستند و در این تحقیق استفاده شده‌اند.

موضوع اصلی این مقاله، دنبال کردن پاره خط‌ها در سلسله‌ای از تصاویر متواالی است، که توسط دوربین نصب شده بر روی یک ربات سیار^۱ و در حین حرکت آن بر روی مسیری دلخواه، از محیط‌های داخلی برداشته می‌شود. همچنین فرض بر این است که تخمینی از میزان حرکت ربات در فواصل تصویربرداری، توسط سیستم ادومتری که از تجهیزات رایج ربات‌های سیار است، در دست می‌باشد.

برای دنبال کردن پاره خط‌ها در تصاویر متواالی، الگوریتم‌های متعدد و متنوعی در منابع تحقیقاتی یافت می‌شوند. در این الگوریتم‌ها، پس از استخراج پاره خط‌ها دنبال کردن یا تطابق پاره خط‌ها، نوعاً در دو مرحله صورت می‌گیرد. با توجه به این که نامگذاری برای دو تصویر متواالی، برای تمیز آنها از یکدیگر در ادامه بحث و مقاله لازم است، از نامهای "تصویر عقب" و "تصویر جلو" استفاده خواهد شد. ارتباط این نامگذاری با مفروضات این مقاله از این قرار است که تصویر عقب، قبل از تصویر جلو در مسیر حرکت ربات برداشته شده است. با این تعریف، الگوریتم‌های دنبال کردن در مرحله اول، برای هر پاره خط در تصویر عقب، فهرست پاره خط‌های نامزد تناظر از تصویر جلو را تشکیل می‌دهند. در مرحله دوم بعلت امکان تعدد نامزدها و اشتراک آنها، رفع ابهام سراسری انجام شده و برای هر پاره خط در تصویر عقب، متناظر آن از بین نامزدها انتخاب می‌شود. روشهای مورد استفاده در مرحله اول عمدتاً عبارتند از: روشهای مبتنی بر فیلتر کالمن [۹]، روشهای مبتنی بر شار نوری [۱۰] و روشهایی که از هندسه سیستم و محدودیت epipolar [۱۱] برای محاسبه ماتریس پایه و تعیین نامزدها استفاده می‌کنند. در مرحله دوم نیز از یک تابع معیار برای انتخاب متناظر استفاده می‌شود. استفاده از فاصله

نامزدها ارائه شده است. از جمله مباحثت نو در این مقاله، حل مساله تعمیم یافته، یعنی حرکت دلخواه با وجود زاویه tilt دوران و انتقال است که به طور مستقل و در این بخش مورد توجه قرار می‌گیرد.

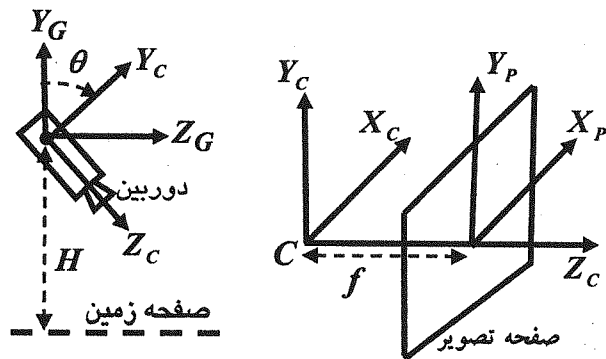
برای حل مساله، شکل (۲) را مورد توجه قرار می‌دهیم. در شکل (۲-الف) جابجایی ربات از نقطه عقب (B) به نقطه جلو (F) در صفحه موازی زمین که از کانون دوربین می‌گذرد و دستگاه مختصات $\{X_G, Y_G, Z_G\}$ که در بخش ۲ معرفی شد، یکبار به مرکز B و یکبار به مرکز F در این صفحه نشان داده شده است. مسیر حرکت از B به F دلخواه است و تاثیری بر نتایج این مقاله ندارد، در عین حال نمونه‌ای از مسیر، با خطچین نشان داده شده است. زاویه tilt دوربین دلخواه و برابر θ می‌باشد و در طول حرکت تغییر نمی‌کند و رابطه دستگاه مختصات نشان داده شده و دستگاه مختصات دوربین، با توضیحات بخش ۲ مطابق است.



شکل (۲): نمایش مولفه‌های حرکتی در یک جاگایی دلخواه ربات بر روی زمین

برای تعیین محدوده مکان نامزد تناظر یک پاره خط، در حرکت از نقطه B به F می‌توان حرکت را به دو مولفه دورانی و انتقالی تجزیه کرد و مکان نامزدها را به ازای این دو مولفه دنبال کرد. نحوه تجزیه حرکت در شکل (۲-ب) نشان داده شده است. همانطور که در شکل مشاهده می‌شود این حرکت صرفنظر از مسیر واقعی طی شده، مشتمل بر دو مولفه است که عبارتند از دوران در نقطه B به میزان α و حول محور Y_{GB} و انتقال مرکز مختصات بصورت خطی از نقطه B به نقطه F و به میزان T که امتداد انتقال با heading ربات زاویه β می‌سازد. میزان T و β توجه شود که در اثر دوران حول Y_{GB} ، دستگاه مختصات

شده، صورت پذیرفته است. ابعاد CCD دوربین $7/6 \times 7/6$ میلیمتر است که در بالاترین دقت، تصویری با 960×1280 نقطه در اختیار می‌گذارد. تصویر، بوسیله نرم‌افزار همراه دوربین، پس از یک مرحله کاهش نمونه‌ها و سپس متوسطگیری، یعنی پس از یک مرحله کاهش نمونه‌ها و سپس متوسطگیری، یعنی تبدیل ۴ نقطه به ۱ نقطه، به تصویر 240×320 تبدیل می‌گردد. فاصله کانونی عدسی دوربین $7/5$ میلیمتر است. شکل (۱) سیستم تصویربرداری را نشان می‌دهد. دستگاه‌های مختصات $\{X_C, Y_C, Z_C\}$ و $\{X_G, Y_G, Z_G\}$ به مرکز کانون دوربین و دستگاه مختصات $\{X_p, Y_p\}$ به مرکز صفحه تصویر، که در آنها X_C و X_p هم‌راستا و به موازات سطح زمین می‌باشدند، در ادامه این مقاله مورد استفاده قرار می‌گیرند. محور Y_C عمود بر زمین است و Y_p و Y_C هم‌راستا هستند و زاویه آنها با امتداد Y_C ، زاویه tilt دوربین را می‌سازد، که با θ نشان داده شده است و بصورت دستی قابل تنظیم است. تصویربرداری‌ها در این تحقیق توسط سیستم یادشده، حین حرکت ربات بر روی مسیرهای برنامه‌ریزی شده، زمین هموار و در محیط‌های داخلی، صورت پذیرفته است. فرکانس تصویربرداری قابل برنامه‌ریزی است و اطلاعات مکان و جهت ربات در لحظات تصویربرداری، توسط سیستم ادومتری ربات فراهم می‌شود.



(الف): موقعیت دوربین	(ب): رابطه دستگاه‌های مختصات در کانون و صفحه تصویر
نسبت به زمین	

شکل (۱): سیستم تصویربرداری و دستگاه مختصات

۳- تعیین مکان پاره خط‌های نامزد تناظر در یک حرکت دلخواه

در الگوریتم پیشنهادی این مقاله، از محدودیت مکان پاره خط‌های نامزد تناول، به منظور کاهش فضای جستجو استفاده شده است. در [۱۲] و برای استریوی محوری، یعنی حالت خاصی که حرکت و جابجایی فقط در امتداد محور نوری دوربین یعنی Z واقع می‌شود، روش تعیین محدوده مکان

هستند.

$$P_1 = M_\theta P_2 = M_\alpha M_\theta P_3 \quad (1)$$

$$P_3 = M_\theta^{-1} M_\alpha^{-1} M_\theta P_2 = M P_2 \quad (2)$$

$$M = M_\theta^{-1} M_\alpha^{-1} M_\theta$$

$$M_\theta^{-1} = \begin{bmatrix} 1 & 0 & 0 & 0 \\ 0 & \cos(\theta) & \sin(\theta) & 0 \\ 0 & -\sin(\theta) & \cos(\theta) & 0 \\ 0 & 0 & 0 & 1 \end{bmatrix}$$

$$M_\alpha^{-1} = \begin{bmatrix} \cos(\alpha) & 0 & -\sin(\alpha) & 0 \\ 0 & 1 & 0 & 0 \\ \sin(\alpha) & 0 & \cos(\alpha) & 0 \\ 0 & 0 & 0 & 1 \end{bmatrix} \quad (3)$$

$$M_\theta = \begin{bmatrix} 1 & 0 & 0 & 0 \\ 0 & \cos(\theta) & -\sin(\theta) & 0 \\ 0 & \sin(\theta) & \cos(\theta) & 0 \\ 0 & 0 & 0 & 1 \end{bmatrix}$$

اگر مختصات سه بعدی یک نقطه دلخواه قبل و بعد از دوران به میزان α بترتیب با (X_t, Y_t, Z_t) و $(X_{t-1}, Y_{t-1}, Z_{t-1})$ و مختصات تصویری آن بترتیب با (x_t, y_t, z_t) و $(x_{t-1}, y_{t-1}, z_{t-1})$ نشان داده شوند، با توجه به روابط (۲)، (۳) و رابطه (۴) و با در نظر گرفتن مدل روزنه‌ای^۳ برای دوربین و اعمال تبدیلات پرسپکتیو رابطه (۵) برقرار است:

$$\begin{bmatrix} X_t \\ Y_t \\ Z_t \end{bmatrix} = M \begin{bmatrix} X_{t-1} \\ Y_{t-1} \\ Z_{t-1} \end{bmatrix} \quad (4)$$

$$\begin{bmatrix} x_{t-1} \\ y_{t-1} \\ z_{t-1} \end{bmatrix} = f \begin{bmatrix} X_{t-1} \\ Z_{t-1} \\ Y_{t-1} \\ Z_{t-1} \end{bmatrix}, \quad \begin{bmatrix} x_t \\ y_t \\ z_t \end{bmatrix} = f \begin{bmatrix} X_t \\ Z_t \\ Y_t \\ Z_t \end{bmatrix} \quad (5)$$

که در آن f فاصله کانونی دوربین است. با ترکیب دو رابطه (۴) و (۵) روابط کلی حاصل می‌شوند که ارتباط بین مختصات تصویری نقاط را قبل و بعد از دوران نشان می‌دهند.

چنانچه میزان دوران کوچک باشد، یعنی $\sin(\alpha) \approx \alpha$ و $\cos(\alpha) \approx 1$ ، آنگاه روابط کلی به روابط (۶) و (۷) ساده

$\{X_{G1}, Z_{G1}\}$ بdst می‌آید که با مختصات $\{X_{GF}, Z_{GF}\}$ موازی است. بنابراین ملاحظه می‌شود که جابجایی نه تنها در امتداد محور نوری نیست [۱۲]، بلکه با دوران (α)، انتقال (T)، زاویه انتقال (β) و زاویه tilt دلخواه یعنی θ ، کاملاً تعیین یافته است. همچنین توجه شود که پارامترهای حرکت از نقطه F به B همگی از اطلاعات ادومتری قابل تعیین هستند. نحوه بdst آوردن این پارامترها از این قرار است که سیستم ادومتری با استفاده از انکدرهای نصب شده بر روی چرخهای ربات و جابجایی آنها، تغییر موقعیت نسبی ربات را بین هر دو نقطه دلخواه در اختیار قرار می‌دهد. بعفوان مثال و برای شکل (۲)، تغییر موقعیت نسبی ربات از F به B با در اختیار گذاشتن مختصات نقطه F در دستگاه $\{X_{GB}, Y_{GB}, Z_{GB}\}$ و میزان α ، توسط سیستم ادومتری مشخص می‌شود. با داشتن این اطلاعات بدیهی است که T و β نیز در dst می‌باشند. زاویه θ بصورت دستی تنظیم می‌شود و مقدار دقیق آن طی فرآیند تنظیم دوربین بdst می‌آید.

با توجه به تعاریف ارائه شده برای پارامترهای حرکت، اثر دوران، انتقال و tilt بر جابجایی تصویر پاره خطها و در نهایت قاعده ساده‌ای برای تعیین مکان نامزدها، در ادامه این بخش ارائه می‌شود.

۳-۱- اثر دوران و tilt بر جابجایی تصویر پاره خطها

از آنجا که تصویر یک پاره خط دلخواه در فضا، یک پاره خط در صفحه تصویر است، مساله جابجایی تصویر یک پاره خط در صفحه تصویر به مساله تعیین جابجایی تصویر نقاط ابتدا و انتهای پاره خط در صفحه تصویر خلاصه می‌شود. بنابراین برای حل مساله، مکان تصویر نقطه دلخواه P در فضا قبل و بعد از دوران به میزان α در حالیکه دوربین دارای زاویه tilt به میزان θ است، بررسی می‌شود. برای ساده شدن بحث، سه دستگاه مختصات همگن را در نظر می‌گیریم که مرکز هر سه، کانون دوربین است.

$$\{X_{C1}, Y_{C1}, Z_{C1}, 1\}$$

$$\{X_{C2}, Y_{C2}, Z_{C2}, 1\}$$

$$\{X_{C3}, Y_{C3}, Z_{C3}, 1\}$$

این سه دستگاه مختصات که بترتیب دستگاه مختصات قبل از دوران و با tilt برابر صفر، دستگاه مختصات با $tilt = \theta$ قبل از دوران و دستگاه مختصات با $tilt = \theta$ و پس از دوران به اندازه α هستند. مختصات نقطه دلخواه P در این سه دستگاه همگن را بترتیب P_1 , P_2 و P_3 و ماتریس‌های تبدیل به ازای زاویه $tilt = \theta$ و دوران به میزان α را بترتیب M_θ و M_α نامیم. بدیهی است که روابط (۱) و (۲) و (۳) برقرار

می‌دهند. این دو نقطه بر روی پاره خط $\overline{EU_f}$ قرار دارند که محل تلاقی صفحه تصویر با صفحه‌ای است که از r_f و محور انتقال می‌گذرد و آن را خط epipolar تعیین یافته می‌نامیم. بدیهی است که خطوط epipolar تعیین یافته برای نقاط مختلف از محیط همگی از نقطه E محل تلاقی محور انتقال با صفحه تصویر، می‌گذرند. پاره خط‌های $\overline{U_f V_f}$ و $\overline{U_b V_b}$ با خط epipolar تعیین یافته موازی و هر سه در یک صفحه هستند. با توجه به توضیحات فوق برای بدست آوردن اثر انتقال لازم است مختصات نقطه E در صفحه تصویر و رابطه $\overline{EU_f}$ و $\overline{EU_b}$ ، یعنی که جایگاه نقطه E ، مشخص شود.

با توجه به اینکه طول پاره خط $\overline{O_{cf} O_p}$ برابر f فاصله کانونی است و با توجه به روابط مثلثاتی حاکم بر شکل، مختصات نقطه E با روابط (۸) و (۹) بدست می‌آید.

$$X_E = f \frac{\tan(\beta)}{\cos(\theta)} \quad (8)$$

$$Y_E = f \tan(\theta) \quad (9)$$

اگر $\overline{EU_f} = r_f$ و $\overline{EU_b} = r_b$ در نظر گرفته شوند، از تشابه مثلثاتی $\Delta O_{cf} V_f U_f$ و $\Delta O_{cf} EU_f$ و $\Delta O_{cf} V_b U_b$ و $\Delta O_{cf} EU_b$ رابطه زیر بدست می‌آید.

$$\begin{aligned} \frac{r_f}{r_b} &= \frac{L3 + L2 + T}{L3 + L2} = \\ 1 + \frac{T}{L3 + L2} &= 1 + \frac{T \cos(\beta) \cos(\theta)}{(L3 + L2) \cos(\beta) \cos(\theta)} \end{aligned} \quad (10)$$

از آنجاکه $L3 \cos(\beta) \cos(\theta)$ برابر r_f و $L2 \cos(\beta) \cos(\theta)$ فاصله نقطه دلخواه r_f از صفحه تصویر یا Z نقطه r_f می‌باشد، بنابراین خواهیم داشت:

$$\frac{r_f}{r_b} = 1 + \frac{T \cos(\beta) \cos(\theta)}{Z + f} \quad (11)$$

با توجه به این که نقاط دلخواه از محیط، پس از انتقال در محدوده عمق دید یعنی $Z_{\max} \geq Z \geq Z_{\min}$ واقعند و چون f در مقابل Z قابل صرفنظر است، برای هر نقطه دلخواه خواهیم داشت:

$$1 + \frac{T \cos(\beta) \cos(\theta)}{Z_{\max}} \leq \frac{r_f}{r_b} \leq 1 + \frac{T \cos(\beta) \cos(\theta)}{Z_{\min}} \quad (12)$$

نتایج بدست آمده در مورد حرکت انتقالی که در زیربخش ۳-۳ مورد استفاده قرار خواهد گرفت، چنین است که برای هر نقطه دلخواه (U) در فضا که در محدوده عمق دید

می‌شوند. این فرض، یعنی کوچک بودن α ، اغلب در طی مسیرهای معمول برقرار است. بدیهی است که چنانچه α بزرگ باشد می‌توان از روابط بدون تقریب استفاده کرد.

$$x_t = f \frac{x_{t-1} - \alpha \sin(\theta) y_{t-1} - f \alpha \cos(\theta)}{\alpha \cos(\theta) x_{t-1} + f} \quad (6)$$

$$y_t = f \frac{\alpha \sin(\theta) x_{t-1} + y_{t-1}}{\alpha \cos(\theta) x_{t-1} + f} \quad (7)$$

در بخش ۳-۳ و برای تعیین محدوده مکان پاره خط‌های متناظر در حرکت دورانی از روابط (۶) و (۷) استفاده شده است. با استفاده از این روابط برای هر پاره خط در تصویر عقب، مکان نقاط ابتدا و انتهای آن در تصویر جلو تعیین می‌شود.

۳-۲-۳- اثر انتقال ربات در امتداد دلخواه بر جایگای تصویر پاره خط‌ها

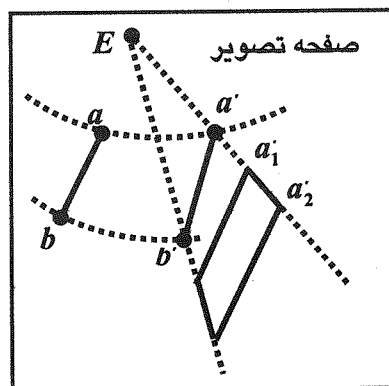
در این بخش حرکت انتقالی ربات و جایگای تصویر پاره خط‌ها در اثر این حرکت مورد بررسی قرار می‌گیرد. در حرکت انتقالی فرض بر این است که ربات بدون دوران از نقطه عقب (B) به نقطه جلو (F) منتقل می‌گردد، به طوریکه محورهای مختصات ربات قبل و بعد از انتقال، موازی هم باقی می‌مانند و لیکن راستای جایگایی و heading ربات می‌توانند باهم زاویه داشته باشند. در شکل (۲-۲) محورهای مختصات ربات قبل و بعد از حرکت انتقالی بترتیب با (X_{GF}, Z_{GF}) و (X_{GI}, Z_{GI}) نشان داده شده‌اند و انتقال به میزان T این دو دستگاه مختصات را بر هم منطبق می‌کند. زاویه بین راستای جایگایی و heading ربات نیز با β نشان داده شده است.

برای حل این بخش از مساله شکل (۳) را در نظر می‌گیریم که دستگاه مختصات در کانون دوربین و صفحه تصویر را در موقعیت F نشان می‌دهد. در این شکل، محور انتقال Trans-axis دوربین است، این محور و X_{cf} هر دو در صفحه افق و به موازات زمین هستند. تصویر محور انتقال یافته در صفحه Z_{cf} ، با $Z_1 Y_{cf} Z_{cf}$ نشان داده شده است. θ زاویه tilt و β زاویه محور انتقال نسبت به Z_{cf} در شکل نشان داده شده‌اند. نقطه E محل تلاقی محور انتقال با صفحه تصویر است.

برای دنبال کردن اثر انتقال، نقطه دلخواه r_f را از محیط در نظر می‌گیریم. صفحه‌ای که از r_f و محور انتقال می‌گذرد، در شکل نشان داده شده است. موقعیت این نقطه نسبت به صفحه تصویر قبل از انتقال با U_b نشان داده شده است که در همین صفحه می‌باشد. نقاط r_f و U_b در شکل، تصویر نقطه دلخواه U را قبل و بعد از انتقال بر روی صفحه تصویر نشان

انتقال با پارامترهای T و β . جابجایی a و b در اثر دوران با استفاده از α , θ و روابط (۶) و (۷) بدست آمده و نقاط a' و b' در شکل را خواهیم داشت. جابجایی a' و b' در اثر انتقال با استفاده از پارامترهای T , β و θ و توضیحات مطرح در جمع‌بندی زیربخش ۲-۳ تعیین می‌شود. یعنی، مختصات نقطه E از روابط (۸) و (۹) بدست می‌آید. خطوط Ea' و Eb' که خطوط epipolar تعمیم‌یافته هستند، مکان نقاط a' و b' پس از انتقال هستند. از آنجا که مقدار Z نقاط در دست نیست، با استفاده از (۱۲) محدوده مکان a' پس از انتقال، یعنی a'_1 و a'_2 و بطور مشابه محدوده مکان b' بدست می‌آید. این مجموعه نقاط تشکیل ذوزنقه‌ای را می‌دهند که در شکل نشان داده شده است.

جمع‌بندی این بخش که در بخش ۴ مورد استفاده قرار می‌گیرد، این است که برای هر پاره‌خط در تصویر عقب، محدوده متناظر آن در تصویر جلو، ذوزنقه‌ای است که نحوه بدست آوردن آن بیان شد و دو سر پاره‌خط متناظر بر روی دو ساق ذوزنقه واقع می‌باشد.



شکل (۴): چگونگی تعیین محدوده مکان پاره‌خط‌های متناظر در حرکت دلخواه

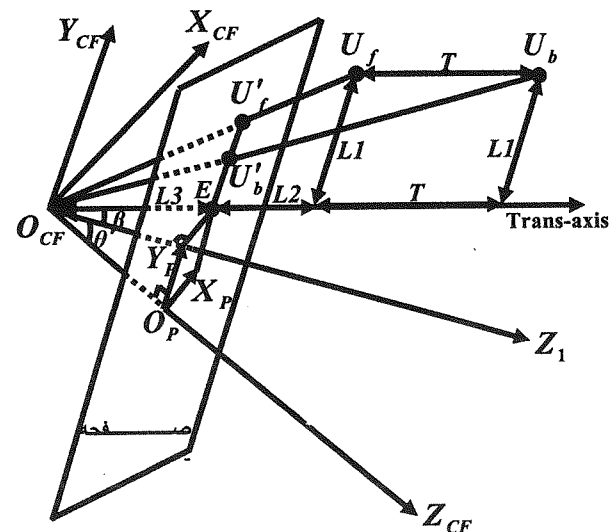
۴- فرض‌ها، قیدها و معیارهای تشابه در الگوریتم پیشنهادی

دبیال کردن پاره‌خط‌ها در دو مرحله تعیین نامزدها و انتخاب متناظر از بین آنها، متکی به موارد زیر است:

(الف) قید محدوده مکان متناظر

برای هر پاره‌خط در تصویر عقب، محدوده مکان متناظر آن در تصویر جلو بر اساس روش مطرح شده در بخش ۲-۳ تعیین شده و کلیه پاره‌خط‌هایی که با این محدوده فصل مشترک دارند، به شرط اینکه سایر قیود و شرط‌ها را نقض نکنند، نامزد تنازیر می‌باشند.

($Z_{\max} \geq Z \geq Z_{\min}$) قرار دارد و تصویر آن (U'_b) در تصویر عقب در دست است، مکان تصویر آن (U'_f) در تصویر جلو بر حسب پارامترهای انتقال قابل تعیین می‌باشد. اگر پارامترهای انتقال T , β و θ باشند، مختصات نقطه E از روابط (۸) و (۹) محاسبه می‌شود و مکان U'_f بر روی پاره‌خط EU' یعنی خط epipolar تعیین‌یافته واقع است. چنانچه مقدار Z برای نقطه U در دست باشد، مکان دقیق U'_f بر روی این خط از (۱۱) محاسبه می‌شود و در غیر اینصورت، محدوده‌ای از این خط که U'_f بر آن واقع است از (۱۲) بدست می‌آید.



شکل (۳): نمایش اثر انتقال بر جابجایی تصویر نقاط محیط در صفحه تصویر

۴-۳-۳- قاعده ساده در تعیین محدوده مکان پاره‌خط متناظر در حرکت دلخواه

تعریف دستگاه‌های مختصات، حرکت دلخواه، تجزیه آن به دو حرکت دورانی و انتقالی، پارامترهای حرکت و نحوه استفاده از اطلاعات ادومتری برای تعیین آنها، همگی در ابتدای بخش ۳ ارائه شده است. همچنین اثر دوران و انتقال بر جابجایی تصویر یک نقطه، در پایان زیربخش‌های ۱-۲ و ۲-۳ جمع‌بندی شده است. با استفاده از این اطلاعات، قاعده ساده‌ای برای تعیین مکان پاره‌خط متناظر ارائه می‌شود.

برای این منظور شکل (۴) را در نظر می‌گیریم که در آن تصویر پاره‌خطی دلخواه در تصویر عقب است و مکان متناظر آن در تصویر جلو مورد نظر است. بعبارت دیگر جابجایی ab در صفحه تصویر و به ازای حرکتی با پارامترهای α , T , β و θ مطلوب می‌باشد. جابجایی نقاط a و b در دو مرحله دنبال می‌شود، یکی دوران با پارامترهای α و θ و دیگری

می شود.

د) اعمال جهت کنتراست بر اختلاف زاویه پاره خطها

جهت کنتراست معیار دیگری است که در الگوریتم پیشنهادی استفاده شده است. بمنظور اثراً این معیار، پاره خطها جهت دار گرفته می شوند. قرارداد جهت گذاری پاره خطها چنین است که برای پاره خط های غیرافقی، اگر کنتراست متوسط طرف چپ نسبت به طرف راست کمتر باشد، جهت پاره خط رو به بالا و در غیر این صورت رو به پایین می باشد. نیز، برای پاره خط های افقی، اگر کنتراست متوسط طرف بالا بیشتر باشد، جهت پاره خط بطرف راست و در غیر این صورت بطرف چپ می باشد. بدین ترتیب در عمل و با جهت دار کردن پاره خط ها و تعریف جدید برای اختلاف زاویه، معیار جهت کنتراست در اختلاف زاویه، مستتر می شود.

ه) اندازه فاصله کنتراست های دو طرفه دو پاره خط

این معیار تشابه نیز، نقش بسیار موثری در موفقیت الگوریتم پیشنهادی دارد. برای تعریف این معیار، فرض کنید که کنتراست متوسط در حاشیه چپ (بالای) پاره خط I_b با $C_{LU}(I)$ و برای حاشیه راست (پایین) آن با $C_{RD}(I)$ نشان داده شود. در این صورت جفت عدد $(C_{LU}(I), C_{RD}(I))$ نقطه ای در صفحه کنتراست دو طرف خطوط و نماینده پاره خط I می باشد. معیار تشابه دو پاره خط I_b و I_f یا $TSCD$ مطابق رابطه (۱۴) محدود فاصله نقاط نماینده آنها است و هر چه فاصله کمتر باشد، دو پاره خط آن نظر کنتراست شبیه تر هستند.

$$TSCD(I_b, I_f) = [C_{LU}(I_b) - C_{LU}(I_f)]^2 + [C_{RD}(I_b) - C_{RD}(I_f)]^2 \quad (14)$$

معیار فوق تشابه و نزدیکی دو پاره خط را از نظر کنتراست با کارایی بالایی نشان داده است. نکته عملی که قابل ذکر است اینکه، این معیار برای طول کامل پاره خط ها محاسبه نمی شود بلکه در بخشی از پاره خط ها که نسبت به یکدیگر همپوشانی دارند، محاسبه می گردد.

و) قید ترتیب

قید ترتیب مبتنی بر این فرض است که توزیع پاره خط ها و موقعیت آنها نسبت به یکدیگر به ازای دوران و انتقال های کوچک در دو تصویر متواالی مشابه است. توضیحات بیشتر در مورد نحوه استفاده از این اطلاعات و نحوه تلفیق آن با کنتراست دو طرفه، در بخش ۵ و در ضمن معرفی الگوریتم پیشنهادی ارائه می شود.

ب) همپوشانی نرمالیزه شده طولهای پاره خط ها

به منظور استفاده از اطلاعات طول در کاهش نامزد ها، همپوشانی نرمالیزه شده (LNO) مطابق (۱۳) تعریف و استفاده شده است. در این رابطه I پاره خط تصویر عقب، I_f پاره خط تصویر جلو و $Length(overlap(I_f))$ فصل مشترک I_f با محدوده مکان متناظر پاره خط I می باشد، که در بند (الف) نحوه تعیین آن آمده است.

$$LNO(I_b, I_f) = \frac{Length(overlap(I_f))}{\min(Length(I_b), Length(I_f))} \quad (13)$$

شرط همپوشانی نرمالیزه، این واقعیت را بیان می کند که میزان همپوشانی یا $Length(overlap(I_f))$ باید درصد مناسبی از طول پاره خط مرجع (I_b) و یا نامزد آن (I_f) باشد، در غیر این صورت فرض بر این است که متناظر بهتری برای هر یک از آنها قابل تعیین است. در این مقاله حداقل همپوشانی نرمالیزه ۵۰٪ اختیار شده است.

ج) اختلاف زاویه پاره خط های متناظر در تصاویر عقب و جلو

در [۱۵]، برای حرکت های انتقالی در راستای ربات heading در $\beta=0$ ، با محاسبه تابع چگالی احتمال اختلاف زاویه برای پاره خط های متناظر، نشان داده شده است که احتمال اختلاف زاویه های بزرگ کم است. بعنوان نمونه برای خطوط موجود در عمق ۱m و به ازای جابجایی $T=10cm$ و زاویه $tilt=45^\circ$ ، احتمال اینکه اختلاف زاویه بین دو پاره خط متناظر در تصاویر عقب و جلو کمتر از 20° باشد، ۰.۹۹۳۸ است.

همچنین در [۱۵]، برای حرکت های دورانی حداقل تغییرات اختلاف زاویه محاسبه شده و ثابت شده است که حداقل تغییر زاویه تصویر یک پاره خط دلخواه، به ازای زوایای tilt مختلف و دوربین MEGAD-D کوچکتر یا مساوی زاویه دوران است. بعنوان نمونه اگر زاویه دوران 10° باشد، حداقل تغییر زاویه تصویر پاره خط ها بین دو تصویر متواالی 10° است.

بنابراین هر حرکت دلخواه ربات بین دو نقطه B و F که در آن ربات به اندازه بردار T جابجا شده و به اندازه زاویه α دوران می کند، به مجموعه ای از حرکت های دورانی و انتقالی در راستای heading ربات قابل تجزیه است. اگر فرض کنیم که بین دو نقطه B و F حداقل میزان جابجایی ۱۰cm و حداقل میزان دوران 10° باشد، حداقل تغییر زاویه تصویر یک پاره خط دلخواه در موقعیت های عقب و جلو با احتمال ۰.۹۹۳۸ کمتر از 30° است، که 20° آن به خاطر حرکت جابجایی (با احتمال 0.9938) و 10° آن از حرکت دورانی با اندازه $10^\circ \leq \alpha$ ناشی

ز) فرض متناظر بودن یک پاره خط با چند پاره خط
هر استا

در الگوریتم پیشنهادی این مقاله، امکان تناظر یک به چند پذیرفته می شود و در مرحله دوم، پس از آنکه برای یک پاره خط، بهترین نامزد بعنوان متناظر انتخاب شد، نامزدهای دیگری نیز که با این متناظر هراستا هستند، متناظر پاره خط مرجع فرض می شوند. در واقع فرض بر این است که پاره خط متناظر بدلا لیل مختلف به چند پاره خط تقسیم شده است.

۵- الگوریتم پیشنهادی

پس از استخراج پاره خطها، تطابق طی دو مرحله شامل تشکیل جدول نامزدها و انتخاب متناظر از بین نامزدها، به انجام می رسد. برای کاهش نامزدها در مرحله اول و انتخاب متناظر در مرحله دوم از فرضها، قیدها و معیارهای استفاده می شود که در بخش ۴ معرفی شدند.

۵-۱- تشکیل جدول اولیه نامزدها

در مرحله اول از الگوریتم تطابق، ماتریسی ساخته می شود که سطرها و ستونهای آن بترتیب نماینده پاره خطهای تصاویر عقب و جلو هستند. به تمامی خانه های ماتریس "۱" یا ". نسبت داده می شود. چنانچه برای هر جفت پاره خط یکی در تصویر عقب و دیگری در تصویر جلو، شرط های محدوده مکان متناظر، همپوشانی نرماییزه، زاویه و جهت کنتراست، یعنی بند های (الف) الی (د) مذکور در بخش ۴، برقرار باشد، به خانه مربوطه در ماتریس "۱" و در غیر اینصورت ". نسبت داده می شود. بنابراین یکها در هر سطر، نامزدهای تناظر را مشخص می کنند.

۵-۲- رفع ابهام و انتخاب متناظر از بین نامزدها

برای تعیین پاره خطهای متناظر سه حالت مختلف برای سطرها و ستونها تشخیص داده شده و در مورد هر یک به تناسب تصمیم گیری می شود. در این مرحله از معیار (ه)، قید (و) و فرض (ز) مذکور در بخش ۴ استفاده شده است.

حالت یک به یک

اگر سطر α از جدول نامزدها فقط در ستون زام "۱" داشته باشد و سایر نقاط سطر و ستون α و ز صفر باشند، حالت یک به یک برقرار است و پاره خطهای مربوطه بعنوان متناظر قطعی منظور می شوند.

حالت یک به چند

اگر در سطر α و ستونهای j_1, j_2, \dots, j_k ($k > 1$) از جدول نامزدها "۱" داشته باشیم و سایر نقاط در این سطر و ستونها صفر باشند حالت یک به چند خواهیم داشت: برای یک پاره خط،

چندین نامزد وجود دارد. در این حالت برای انتخاب متناظر قطعی از بین j_1, j_2, \dots, j_k ، از معیار (ه)، یعنی اندازه فاصله کنتراست های دو طرفه، استفاده می شود. سپس اگر j_r بعنوان متناظر قطعی انتخاب شده باشد، تمام پاره خطهای هراستا با آن از مجموعه j_1, j_2, \dots, j_k نیز متناظر ن فرض شده و برچسب را خواهد گرفت.

حالت چند به چند

مشکل اصلی در پیدا کردن متناظر، مربوط به این حالت است و در الگوریتم پیشنهادی ما، طی سه گام حل می شود.
گام اول، تشکیل زیر جداول مستقل:

با حذف سطر و ستونهای مربوط به حالت های یک به یک و یک به چند، مابقی جدول می تواند به زیر جداول مستقل تقسیم شود. حداقل تعداد سطر و ستون در هر زیر جدول ۲ است. برای تشکیل هر زیر جدول می توان از سطرها و یا ستونهای باقیمانده استفاده کرد. بعنوان مثال، برای تشکیل یک زیر جدول، اگر سطر α ام در ستونهای j_1, j_2, \dots, j_k ($k \geq 1$) یک داشته باشد، زیر جدول با این سطر و ستونها آغاز می شود. سپس سطرهای دیگری که در حداقل یکی از ستونهای j_1, j_2, \dots, j_k دارای "۱" هستند، به مجموعه سطرهای جدول اضافه می شوند. بدنبال آن تمام ستونهای دیگری که در سطرهای جدید "۱" دارند به مجموعه ستونها اضافه می شوند و اینکار ادامه می یابد تا سطر و ستونی به زیر جدول اضافه نشود. زیر جداول مستقل، مربوط به پاره خطهای موجود در ناحیه های تصاویر هستند که بعلت اشتراک در نامزدها، مشکل انتخاب بهینه دارند. بدیهی است که برای پاره خطهای مربوط به زیر جداول مستقلی که از اجرای این گام از الگوریتم بدست می آیند، اشتراک نامزد وجود ندارد. بنابراین انتخاب متناظرها در هر زیر جدول مستقل، طی دو گام بعدی و مستقل از سایر زیر جداول مستقل صورت می پذیرد.

گام دوم، مرتب کردن زیر جداول:

قید ترتیب یعنی بند (و) از بخش ۴، در این گام مورد استفاده قرار می گیرد. در هر زیر جدول مستقل سطرها و ستونها که بترتیب نماینده پاره خطها در تصاویر عقب و جلو هستند، هر کدام جداگانه بر حسب موقعیت مکانی آنها، از گوشه سمت چپ و پایین تصویر تا گوشه سمت راست و بالای تصویر، مرتب می شوند. اطلاعات ترتیب حاکی از این واقعیت است که به ازای انتقال و دوران کم، ترتیب مکانی پاره خطها در دو تصویر مشابه است و این امر قیدی را برای یکهای انتخاب شده در "زیر جدول مرتب شده" تحمیل می کند. قید تحمیل شده این است که یکهای انتخاب شده در سطرها و ستونها نمی توانند هر زیر مجموعه دلخواهی از یکها باشند. اگر

داشتن میزان جابجایی در راستای محور نوری دوربین و با استفاده از هندسه سیستم، مکان نامزدها را تعیین نموده و با بکارگیری قیود اختلاف زاویه، علامت کتراست، مقدار کتراست متوسط و وجود همپوشانی فهرست نامزدها را تشکیل می‌دهد. برای انتخاب متناظر در مرحله دوم نیز از relaxation labeling یعنی روش تکراری مبتنی بر هموار بودن اختلاف مکانی در یک همسایگی استفاده می‌کند. همان طور که ذکر شد، این الگوریتم برای حالت خاص حرکت یعنی به ازای tilt و دوران صفر درجه و جابجایی محدود 15 cm ارائه شده و ارزیابی آن نیز در [۱۲] بر روی تصاویر خاص نشان داده شده است. در عین حال این الگوریتم از نظر موضوع و مفروضات، نزدیکترین کار موجود در منابع تحقیقاتی، به الگوریتم پیشنهادی می‌باشد. لذا با جر و تعدیل های لازم و ارزیابی آنها تحت شرایط مختلف، سعی شده است که مقایسه و ارزیابی مناسبی ارائه شود. بدین منظور و بر اساس یافته‌های این مقاله، تغییرات لازم در محدوده مکان نامزد و نیز اثر tilt دلخواه بر الگوریتم [۱۲] اعمال شده است. هر دو الگوریتم بر حسب نرم‌افزار Matlab 6.5 نوشته شده و اجرای آنها بر روی کامپیوتر 4 Pentium با فرکانس 1.4GHz زمان سنجی شده است. نتایج مقایسه و ارزیابی در دو قسمت ارائه شده است. در زیربخش ۲-۶ نتایج عملکرد دو الگوریتم بر روی دو جفت تصویر متوالی از دو صحنه متفاوت بدون دوران و با دو جفت تصویر متوالی از دو صحنه متفاوت بدون دوران و با ۴۵° tilt = ۱۵ cm و جابجایی ۳-۶ عملکرد الگوریتم پیشنهادی در حرکتی شامل انتقال، دوران و tilt، برای دو تصویر متوالی و سلسله تصاویر متوالی از یک صحنه داخلی نشان داده شده است.

۶- مقایسه عملکرد الگوریتم‌ها بر روی دو تصویر و سلسله تصاویر

نتایج اجرای الگوریتمها در شکل‌های (۵) و (۶) برای دو جفت تصویر متوالی نشان داده شده است. در هر یک از این شکل‌ها، بخش‌های (الف) و (ب)، تصاویر عقب و جلو را نشان می‌دهند. بخش‌های (ج) و (د) از شکل‌ها، پاره‌خط‌های استخراج شده برای تصاویر عقب و جلو می‌باشند. بخش‌های (ه) و (و) در شکل‌ها، بترتیب عملکرد الگوریتم جدید و الگوریتم [۱۲] را در تطابق نشان می‌دهند. بخش‌های (ه) و (و) زیرمجموعه‌ای از پاره‌خط‌های تصویر جلو می‌باشند که متناظر آنها در تصویر عقب پیدا شده و بنابراین برچسب پاره‌خط نظیر را گرفته‌اند. شماره‌گذاری پاره‌خط‌ها بعنوان نمونه در شکل (۵) انجام شده است و برای رعایت خوانائی شکل‌ها در اشل ارائه شده،

زیرجدول شامل M سطر و N ستون باشد، با شروع از سطر و ستون (۱,۱) تا (M, N)، زیرنویس سطر و ستون یکهای انتخاب شده، از یک انتخاب به انتخاب بعدی نمی‌تواند کاهشی باشد و باید زیرنویس سطر یا ستون یا هر دو حداقل بمیزان ۱ افزایش یابند.

گام سوم، انتخاب مسیر بهینه در زیرجدول مرتب شده: همانطور که بیان شد، قید ترتیب در زیرجدول مرتب شده، قیدی را بر مسیری که یکهای قابل انتخاب بر آن واقعند، تحمل می‌کند. اما مسیری که یکهای قابل انتخاب بر آن واقعند و قید ترتیب را ارضاء می‌کند، منحصر بفرد نیست، پس انتخاب مسیر بهینه بر اساس معیار تشابه (ه)، یعنی اندازه فاصله کتراستهای دو طرفه، صورت می‌پذیرد. برای انتخاب مسیر بهینه ابتدا نقاط شاخص تعیین می‌شوند. نقاط شاخص یکهایی هستند که در سطر و ستون مربوطه، حداقل $TSCD$ را دارا هستند. این نقاط نیز در حالت کلی در جدول پراکنده هستند و مجموعه آنها الزاماً شرط مسیر را ارضاء نمی‌کند. بنابراین زیرمجموعه‌ای از آنها، با حداقل تعداد نقاط شاخص، که شرط مسیر را ارضاء کند، تعیین می‌شود. در صورت وجود چند مسیر بهینه، آنکه $\sum TSCD$ کمتری را داشته باشد انتخاب می‌شود و در صورت تعدد جواب یکی از آن زیرمجموعه‌ها به دلخواه انتخاب قطعی می‌شوند. سپس مسیر بهینه بین هر دو نقطه شاخص متوالی که محدود به سطراها و ستون‌های این دو نقطه هستند، با تکرار همین قاعده تعیین می‌شود.

۶- ارزیابی الگوریتم پیشنهادی

در این بخش، ارزیابی عملکرد الگوریتم پیشنهادی و مقایسه آن با الگوریتمی مبتنی بر relaxation labeling که نزدیکترین کار به موضوع این مقاله است، ارائه می‌شود. از آنجا که بانک اطلاعاتی استانداری از سلسله تصاویر متوالی، برای ارزیابی و مقایسه الگوریتم‌های دنبال کردن پاره‌خط‌ها در دست نبوده است، در این تحقیق مجموعه‌ای از تصاویر متوالی، از صحنه‌های متنوع داخلی با ساختارهای متفاوت خطوط مرزی، تحت شرایط مختلف نوری و فواصل متفاوت تهیه شده و برای ارزیابی مورد استفاده قرار گرفته‌اند. بدیهی است که اطلاعات و آماری که در این بخش، از عملکرد الگوریتم‌ها بر روی تصاویر نمونه ارائه شده است، متنکی بر تطابق چشمی و دقیق تمام پاره‌خط‌ها در تصاویر می‌باشد.

۶- معرفی الگوریتم مورد مقایسه و شرایط مقایسه

الگوریتمی که با الگوریتم پیشنهادی مقایسه می‌شود، در مرجع [۱۲] معرفی شده است. این الگوریتم، در مرحله اول با

شماره‌گذاری در شکل (۶) صورت نگرفته است. بمنظور فراهم شدن امکان مقایسه عملکرد دو الگوریتم بر روی شکل‌ها، در بخش (ه) و (و) پارهخطهایی که هر دو الگوریتم در تطابق آنها موفق بوده‌اند با خطوط پر و پارهخطهایی که الگوریتم مربوطه در تطابق آنها موفق بوده و دیگری موفق نبوده، با نقطه‌چین نشان داده شده است. از آنجا که برای تمام پارهخطهای این دو تصویر، جدول پارهخطهای متناظر از طریق چشمی و با دقت استخراج شده و در دست می‌باشد، جزئیات بیشتر و دقیق‌تری از عملکرد الگوریتم‌ها که در شکل‌ها قابل نمایش و ارائه نیست در جدول (۱) آمده است.

عدم موقتیت الگوریتم پیشنهادی در تطابق ۷ پارهخط، از مجموع ۱۸۸ پارهخط در دو تصویر، بررسی و دنبال شده است و دلایل عدم موقتیت چنین بوده است: ۲ عدد بدلیل نداشتند شرط ناحیه، ۲ عدد بدلیل نداشتند شرط زاویه، ۱ عدد بدلیل نداشتند شرط کنتراست، ۱ عدد بدلیل نداشتند شرط همپوشانی نرم‌الیزه و بالاخره ۱ عدد از این پارهخطها بدلیل خطا در مرتب کردن پارهخطها تطابق داده نشده‌اند. لازم به ذکر است که خطای مرتب کردن، در ۱ زیرجدول از مجموع ۲۷ زیرجدول رخ داده است و دلیل آن نیز این است که حتی بصورت چشمی در موارد خاص تعیین ترتیب مشکل است. همچنین تطابق غلط که برای یک پارهخط رخ داده است، بدلیل درست عمل نکردن معیار کنتراست بوده است.

ملحوظه می‌گردد که الگوریتم پیشنهادی با سرعتی حدود پنج برابر الگوریتم [12]، کیفیت بسیار بهتری نیز داشته است. شکل‌های (۷) و (۸) و جدول (۲) عملکرد دو الگوریتم را بر روی سلسله تصاویری از همان صحته‌ها نشان می‌دهند. عملکرد بر اساس تعداد پارهخطهایی از تصویر اول که در سلسله تصاویر دنبال شده و تا تصویر آخر متناظر داشته‌اند بیان شده است. در این حالت نیز سرعت و کیفیت برتر الگوریتم پیشنهادی در جدول (۲) مشاهده می‌شود.

۶-۳-۳- عملکرد الگوریتم پیشنهادی در حرکت دلخواه

شکل‌های (۹) و (۱۰) عملکرد الگوریتم پیشنهادی را در حرکتی توأم با دوران نشان می‌دهند. ربات برای یک مسیر دایره‌ای برنامه‌ریزی شده است. شکل (۹) عملکرد الگوریتم را برای یک جفت تصویر متوالی با $tilt = 45^\circ$ ، دوران 3.6° و جابجایی 6.8 cm نشان می‌دهد. در این شکل برای ۵۸ پارهخط تصویر جلو که در تصویر عقب هم وجود دارد، تمامی متناظرها، بدون خطاب تطابق داده شده‌اند. شکل (۱۰) عملکرد الگوریتم را برای سلسله تصاویری از همان صحته نشان می‌دهد. این آزمایش مبتنی بر ۵ عدد تصویر متوالی،

$tilt = 45^\circ$ ، دوران کل 16° و جابجایی کل 30 cm بوده است. الگوریتم پیشنهادی از ۴۵ پارهخط مشترک بین تصویر اول و آخر ۳۷ عدد را به درستی دنبال کرده است، ۸ عدد را نیافته است و تطابق غلط نیز نداشته است.

بديهی است که هر چه میزان جابجائي و دوران بین يك جفت تصویر متواли بيشتر باشد، انتظار داشتن خطا در تطابق بيشتر است. لذا عملکرد الگوریتم بر روی يك جفت تصویر از همين دنباله با جابجائي 21 cm و دوران 9.7° نيز مورد آزمایش قرار گرفت. نتیجه آن از ۵۲ پارهخط مشترک بین دو تصویر، تطابق صحیح 50 پارهخط، خطا در تطابق دو پارهخط و عدم تطابق يك پارهخط بوده است، که نشان‌دهنده عملکرد قوی در جابجائي و دوران‌های قابل ملاحظه می‌باشد.

۷- جمع‌بندی نتایج

در این مقاله الگوریتم جدیدی برای دنبال کردن پارهخطها در تصاویر متواالی بکار گرفته شده است. تصاویر با يك دوربین CCD که در يك ارتفاع معين و يا زاويه $tilt$ دلخواه بر روی ربات نصب شده، در حين حرکت ربات بر روی مسیر دلخواه در محیط‌های داخلی برداشته می‌شود. همچنین فرض بر این است که تخمینی از موقعیت نسبی نقاط تصویربرداری، توسط سیستم ادومتری ربات در دست می‌باشد.

این الگوریتم برای محدود کردن نامزدهای تناظر هر پارهخط از يك تصویر، در بین پارهخطهای تصویر بعدی، از قید محدوده مکان، اختلاف زاویه، جهت کنتراست و همپوشانی بهره می‌برد. نحوه تعیین محدوده مکان متناظر به ازای حرکت دلخواه و قابل استفاده بودن قید زاویه ارائه شده و از مطالب نو در این مقاله است. از آنجا که پارهخطهای يك تصویر می‌توانند نامزدهای مشترک در تصویر بعدی داشته باشند، رفع ابهام و انتخاب نهائی متناظر از بین نامزدها ضروری بوده و در این الگوریتم به روشی نو با استفاده از تابع معیاری جدید مبتنی بر کنتراست و بهینه سازی تابع معیار با رعایت قید ترتیب انجام شده است.

برای ارزیابی عملکرد و مقایسه الگوریتم این مقاله با سایر الگوریتم‌ها، چندین سلسله تصویر از محیط يك آزمایشگاه برداشته شده و با دنبال کردن دقیق چشمی تمامی پارهخطها در این سلسله تصاویر، مبنای برای ارزیابی فراهم شده است. الگوریتم پیشنهادی با الگوریتم [۱۲] که مبتنی بر labeling می‌باشد مورد مقایسه قرار گرفته و با سرعتی حدود پنج برابر، تطابق صحیح بمراتب بیشتر و خطای بمراتب کمتری را در تصاویر بدست آمده بر روی مسیرهای مستقیم نشان

۸- تقدیر و تشکر

بدین وسیله از حمایتهای مرکز تحقیقات مخابرات ایران، در انجام این تحقیق، قدردانی می‌شود.

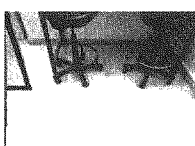
داده است. همچنین عملکرد موثر الگوریتم این مقاله در تعمیم مسیر حرکت، که در [۱۲] محدود به حرکت در امتداد محور نوری دوربین بوده است، مورد ارزیابی قرار گرفت و کارائی موثر آن در تصاویر برداشته شده حین حرکت بر روی یک مسیر دایره‌ای، با دنبال کردن صحیح بیش از ۸۲٪ از پاره خطها در طی بیش از 30 cm و با تغییر امتداد ۱۶° مشاهده شده است.

جدول (۱): ارزیابی عملکرد الگوریتم پیشنهادی و الگوریتم [۱۲]، بر روی دو تصویر متواالی از دو دنباله مختلف

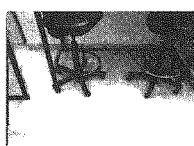
دنباله تصویر	جایگایی (cm)	پاره خطهای تصویر اول		تطابق صحیح		عدم موفقیت در تطابق		خطا در تطابق		زمان اجرا (ثانیه)	الگوریتم
		تعداد کل	تعداد پاره خط-های دارای متناظر	تعداد	درصد	تعداد	درصد	تعداد	درصد		
۱	۱۵	۷۷	۶۴	۶۲	%۹۶/۸	۱	%۱/۶	۱	%۱/۶	۲/۵	پیشنهادی
				۵۳	%۸۲/۸	۵	%۷/۸	۶	%۹/۴	۷/۹	[۱۲]
۲	۱۵	۱۴۵	۱۲۴	۱۱۸	%۹۵/۲	۶	%۴/۸	۰	%۰	۴/۸	پیشنهادی
				۹۹	%۷۹/۸	۱۷	%۱۳/۷	۸	%۶/۵	۲۱/۶	[۱۲]
۲و۱		۲۲۲	۱۸۸	۱۸۰	%۹۵/۸	۷	%۳/۷	۱	%۰/۵	۷/۳	پیشنهادی
				۱۵۲	%۸۰/۹	۲۲	%۱۱/۷	۱۴	%۷/۴	۲۹/۵	[۱۲]

جدول (۲): ارزیابی عملکرد الگوریتم پیشنهادی و الگوریتم [۱۲]، بر روی سلسله تصاویر متواالی از دو صحنه مختلف

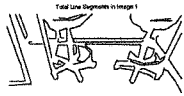
ردیف	جایگایی (cm)	پاره خطهای تصویر اول		تطابق صحیح		عدم موفقیت در تطابق		خطا در تطابق		زمان اجرا (ثانیه)	الگوریتم	
		بین دو فریم	کل مسیر	تعداد کل	تعداد پاره خط-های دارای متناظر	تعداد	درصد	تعداد	درصد			
۱	۱۵	۶۰	۷۷	۶۴	۵۰	%۷۸/۱	۱۰	%۱۵/۶	۴	%۶/۳	۱۱/۳	پیشنهادی
					۲۵	%۲۹	۲۸	%۴۲/۸	۱۱	%۱۷/۲	۳۴/۷	[۱۲]
۲	۱۵	۷۵	۱۴۵	۸۸	۶۵	%۷۳/۹	۲۰	%۲۲/۷	۳	%۲/۴	۲۲	پیشنهادی
					۵۳	%۶۰/۲	۲۲	%۲۵	۱۲	%۱۴/۸	۱۷۷	[۱۲]
۲و۱		۲۲۲	۱۵۲	۱۰۲	۱۱۵	%۷۵/۷	۳۰	%۱۹/۷	۷	%۴/۶	۴۴/۳	پیشنهادی
					۷۸	%۵۱/۳	۵۰	%۳۲/۹	۲۴	%۱۵/۸	۲۱۱/۷	[۱۲]



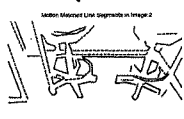
(الف): تصویر عقب



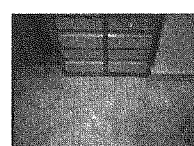
(ب): تصویر جلو



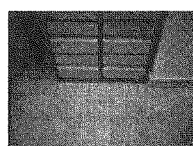
(ج): پاره خط های تصویر عقب



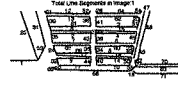
(د): پاره خط های تصویر جلو



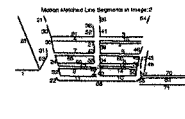
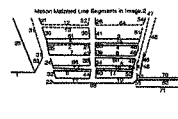
(الف): تصویر عقب



(ب): تصویر جلو



(ج): پاره خط های تصویر عقب



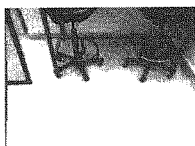
(د): پاره خط های تصویر جلو

(ه): پاره خط های تصویر جلو
جلو بر جسب خورده با الگوریتم [12]
الگوریتم پیشنهادی(و): پاره خط های تصویر جلو
بر جسب خورده با الگوریتم [12]
الگوریتم پیشنهادی

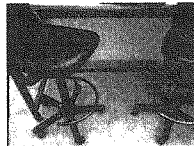
شکل (۵): نمونه ای از عملکرد الگوریتمها در تطابق پاره خطها در دو تصویر متواالی

(ه): پاره خط های تصویر جلو
جلو بر جسب خورده با الگوریتم [12]
الگوریتم پیشنهادی(و): پاره خط های تصویر جلو
بر جسب خورده با الگوریتم [12]

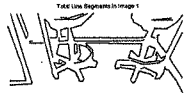
شکل (۵): نمونه ای از عملکرد الگوریتمها در تطابق پاره خطها در دو تصویر متواالی



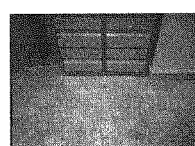
(الف): تصویر اول



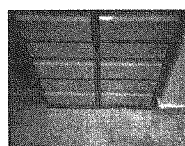
(ب): تصویر آخر



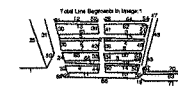
(ج): پاره خط های تصویر اول

(ه): پاره خط های تصویر آخر
بر جسب خورده با الگوریتم [12]
الگوریتم پیشنهادی

(الف): تصویر اول



(ب): تصویر آخر



(ج): پاره خط های تصویر اول

(ه): پاره خط های تصویر آخر
بر جسب خورده با الگوریتم [12]
الگوریتم پیشنهادی(و): پاره خط های تصویر آخر
بر جسب خورده با الگوریتم [12]

شکل (۶): نمونه ای از عملکرد الگوریتمها در دنبال کردن پاره خط ها در سلسله تصاویر واقعی و حرکت بر روی مسیر مستقیم. تصویر اول در ابتدا و تصویر آخر در انتهای مسیر برداشته شده اند.

شکل (۷): نمونه ای از عملکرد الگوریتمها در دنبال کردن پاره خطها در سلسله تصاویر واقعی و حرکت بر روی مسیر مستقیم. تصویر اول در ابتدا و تصویر آخر در انتهای مسیر برداشته شده اند.

۹- مراجع

Andrew Davison, *Mobile Robot Navigation Using Active Vision*, Ph.D Thesis, University of Oxford, 1999.

Stephen Se, David Lowe and Jim Little, "Mobile Robot Localization and Mapping with Uncertainty using Scale-Invariant Visual Landmarks", International Journal of Robotics Research, vol. 21, no. 8, pp 735-758, 2002

B. Kamgar-Parsi, B. Kamgar-Parsi, "Algorithms for matching 3d line sets", IEEE Transactions on Pattern Analysis and Machine Intelligence, vol. 26, no. 1, pp. 58- 593, 2004.

Z. Zhang, O. Faugeras, "Building a 3D World Model with a Mobile Robot: 3D Line Segment Representation and Integration", IEEE Proceedings on Pattern Recognition, 1990

O. Faugeras, *Three Dimensional Computer Vision: A Geometric Viewpoint*, The MIT Press, Cambridge, 1993.

Z. Zhang, O.D. Faugeras, "Estimation of displacements from two 3D frames obtained from stereo", IEEE Transactions on Pattern Analysis and Machine Intelligence, v. 14, I. 12 pp. 1141-1156, 1992

H. H. Chen, T. S. Huang, "Matching 3-D line segments with applications to multiple-object motion estimation", IEEE Transactions on Pattern Analysis and Machine Intelligence, v.12 I.10, pp. 1002 - 1008, 1990 .

Raymond K. K. Yip, "A multi-level dynamic programming method for line segment matching in axial motion stereo", Pattern Recognition, vol. 31, no. 11 pp. 1653-1668 1998

R. Deriche and O. Faugeras, "Tracking line segments", In European Conference on Computer Vision, pp 259-267, 1990

Naoki Chiba, Takeo Kanade, "A tracker for broken and closely spaced lines", Systems and Computers in Japan, vol. 30 no. 7, pp 18 - 26, 1999

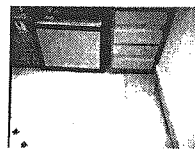
C. Schmid, A. Zisserman, "Automatic line matching across views", Proceedings of CVPR '97, pp. 666-671, 1997.

X. Jiang and H. Bunke, "Line segment based axial motion stereo", Pattern Recognition Journal, vol. 28, no 4, pp 553-562, 1995
www.videredesign.com

www.activmedia.com

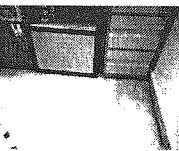
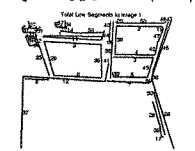
قادر کریمیان خسروشاهی، "تعیین موقعیت رباتهای سیار با استفاده از بینایی استریو در فضای بسته" ، گزارش پیشرفت پایان نامه دکتری، دانشکده برق، دانشگاه صنعتی امیرکبیر، ۱۳۸۴.

[۱]



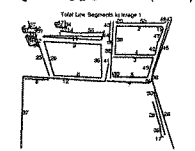
(الف): تصویر عقب

[۲]



(ب): تصویر جلو

[۳]



(ج): پاره خطهای تصویر جلو

عقب

[۴]



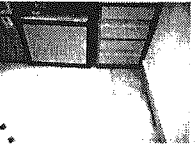
(د): پاره خطهای تصویر

جلو برچسب خورده با
الگوریتم پیشنهادی

[۵]

شکل (۹): نمونه ای از اجرای الگوریتم پیشنهادی بر روی دو تصویر متوالی در حرکت بر روی مسیر دلخواه.

[۶]



(الف): تصویر اول



(ب): تصویر آخر

[۷]

[۸]

[۹]

[۱۰]

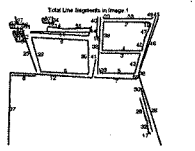
[۱۱]

[۱۲]

[۱۳]

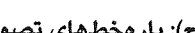
[۱۴]

[۱۵]



(ج): پاره خطهای تصویر آخر

اول



(د): پاره خطهای تصویر آخر

برچسب خورده با الگوریتم
پیشنهادی

شکل (۱۰): نمونه ای از اجرای الگوریتم پیشنهادی در دنبال کردن پاره خطها در سلسله تصاویر واقعی و حرکت بر روی مسیر دلخواه. تصویر اول در ابتدا و تصویر آخر در انتهای مسیر برداشته شده اند.

زیرنویس ها

' Mobile Robot

' Calibration

' Pinhole

' Lines Normalized Overlap

' Two Sided Contrast Distance